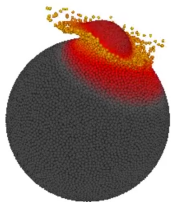


Hydrodynamické a N-částicové simulace srážek asteroidů

Pavel Ševeček, Miroslav Brož

Astronomický ústav, Univerzita Karlova v Praze

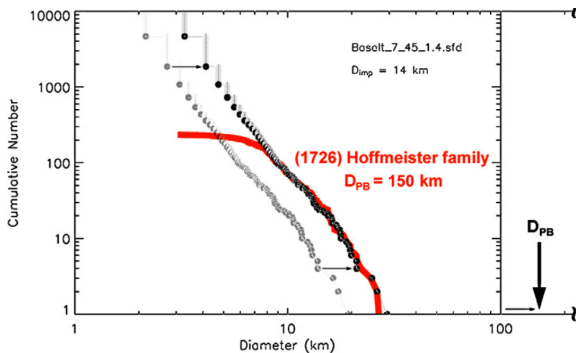


Dynamika hlavního pásu

- srážky asteroidů hrají důležitou roli v evoluci hlavního pásu
- rozpad asteroidu → asteroidální rodina
- observační data:
 - rozdělení velikostí (SFD)
 - rychlostní pole
- hmotnost mateřského tělesa \neq součet hmotností členů
observační neúplnost
- SFD se mění s časem (kolizní evoluce, Jarkovského drift)
pro studium rozpadu potřebujeme mladé rodiny < 10 Myr
- laboratorní experimenty není možné porovnat →
numerické modely
- výsledky numerických modelů: určení velikosti mateřského tělesa, parametrické relace do Monte Carlo modelů evoluce hlavního pásu, ...

Určení velikosti mateřského tělesa

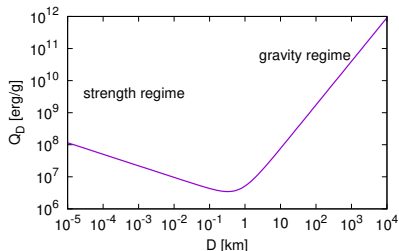
- Durda et al. (2007) — sada simulací se 100km tělesy
- nejlepší fit pozorovaného SFD
- uvážení observační neúplnosti
- posun SFD → předpoklad **lineárního** škálování
- **ale** existují rodiny s $D_{pb} \sim 10$ km, např. Datura (Nesvorný et al. 2015)



Durda et al. (2007)

Rozdíl mezi 10km a 100km mateřskými tělesy

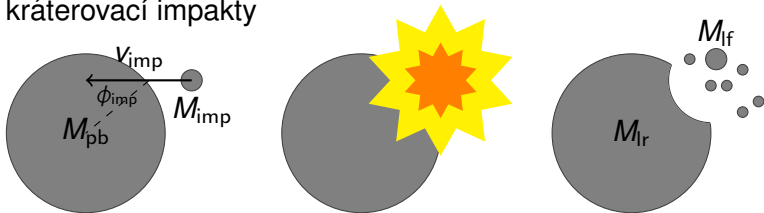
- škálování zákon \rightarrow 10km tělesa jsou méně pevná
Benz & Asphaug (1999)
- kinetická energie $Q \equiv \frac{1}{2} m_{\text{project}} v_{\text{imp}}^2$
- stejné Q/Q_D^* \rightarrow **relativně** menší projektily



- pro malé rodiny lze škálovat výsledky 10km tělesa nahoru a 100km tělesa dolů

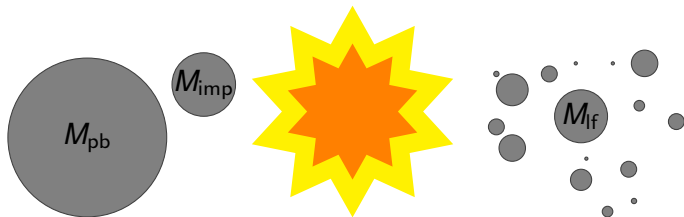
Parametry impaktu

- kráterovací impakty



Největší zbytek — průměr druhého největšího tělesa nepřesahuje $0.8D_{lr}$

- katastrofické impakty



Numerický model vzniku asteroidálních rodn

- složitá fyzika — nelineární stavová rovnice, šíření prasklin v tělese, self-gravitace, ...
- potřebný časový krok: Courantovo kritérium

$$\Delta t \leq \frac{\Delta x}{c_s} \simeq 10^{-3} \text{ s}$$

- čas potřebný na reakumulaci ~ 10 dnů
- celkový čas simulace: 10^9 kroků $\sim 10^5$ dnů

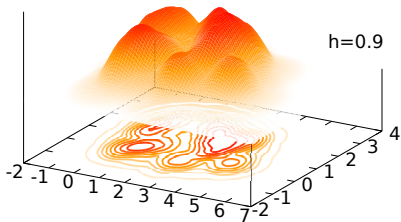
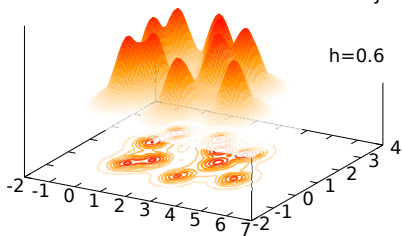
→ **hybridní řešení** – SPH + N-částicový integrátor

$$\tau_{\text{fragmentace}} \equiv \frac{D_{\text{pb}}}{c_s} \ll \tau_{\text{reakumulace}} \equiv \sqrt{\frac{1}{G\rho}}$$

Metoda shlazených částic (SPH)

- hustota dána shlazením bodových částic (Cossins 2010)

$$\rho(\mathbf{r}) = \sum_{j=1}^N m_j W(\mathbf{r} - \mathbf{r}_j, h)$$



- gradient veličiny $\nabla A(\mathbf{r})$:

$$\nabla A(\mathbf{r}) = \sum_{j=1}^N \frac{m_j}{\rho_j} A_j \nabla W(\mathbf{r} - \mathbf{r}_j, h)$$

Hydrodynamické rovnice

- rovnice kontinuity

$$\frac{d\rho}{dt} = -\rho \nabla \cdot \mathbf{v}$$

- pohybová rovnice

$$\frac{d\mathbf{v}}{dt} = -\frac{1}{\rho} \nabla \cdot \boldsymbol{\sigma}$$

- energetická rovnice

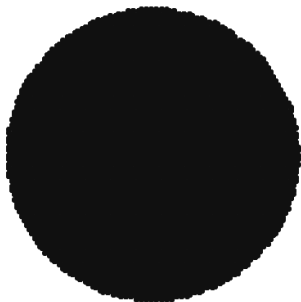
$$\frac{du}{dt} = -\frac{P}{\rho} \nabla \cdot \mathbf{v} + \frac{1}{\rho} \mathbf{S} : \dot{\boldsymbol{\epsilon}}$$

- konstituční rovnice — **Hookův zákon**

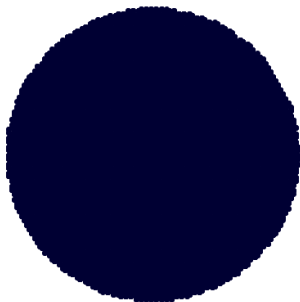
$$\frac{d\mathbf{S}}{dt} = 2\mu \left(\dot{\boldsymbol{\epsilon}} - \frac{1}{3} \nabla \cdot \mathbf{v} \right)$$

Kráterovací impakty

poškození D

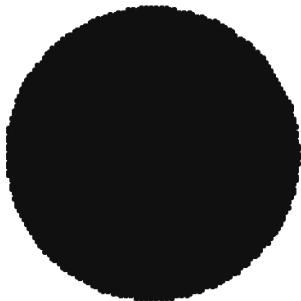


rychlost částic v

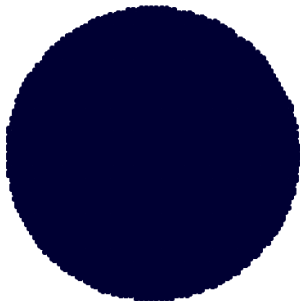


Katastrofické impakty

poškození D



rychlost částic v

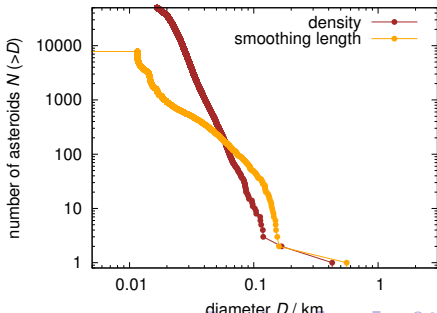


Předání N-časticovému integrátoru

- je třeba převést SPH částice na koule
- shlazovací délka $h \xrightarrow{?}$ poloměr koule R
- Durda et al. (2007) – $R \equiv h/3$
 - příliš velká reakumulace na středních velikostech kvůli částicím v expandované fázi
- Nesvorný et al. (2006) – konstantní hustota $\rho = 2700 \text{ kg/m}^3$

- Michel et al. (2002) – R podle místní hustoty:

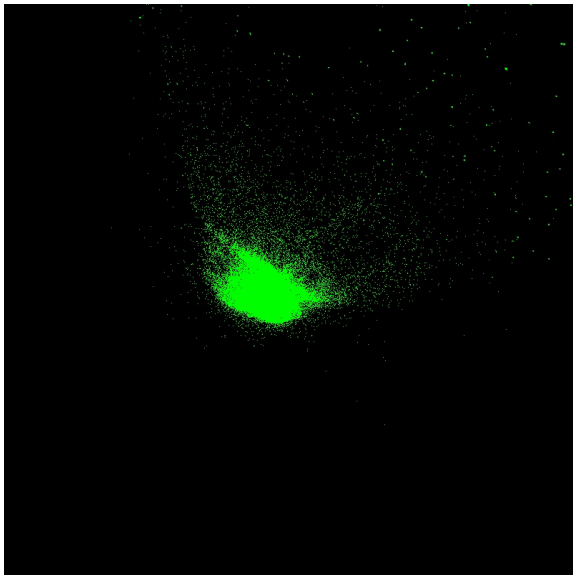
$$R \equiv \left(\frac{3m}{4\pi\rho} \right)^{\frac{1}{3}}$$



N-částicový integrátor

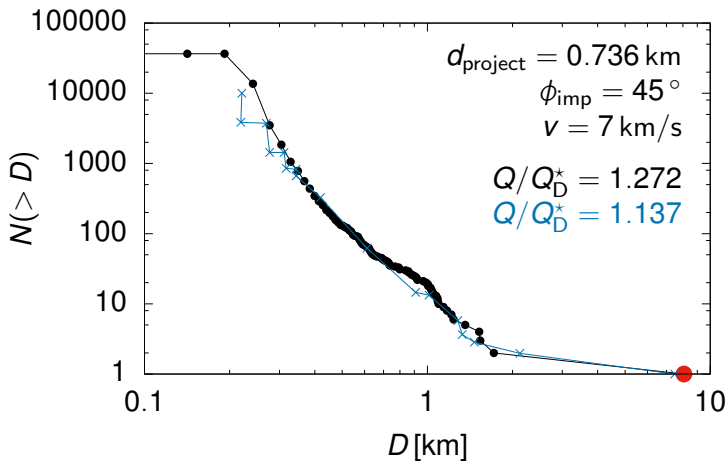
- kód `pkdgrav` (Richardson et al. 2000)
- stromová struktura — gravitační momenty vzdálených buněk (hexadekupólní aproximace) namísto interakce každé dvojice částic
- srážky částic — dokonalé spojování → ztráta informace o tvaru
- reakumulace → rozdělení velikostí, rychlostní pole

N-časticový integrátor



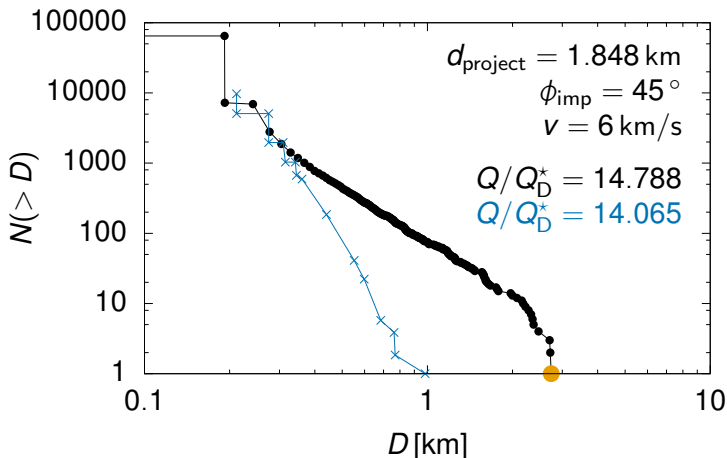
Středně-energetické impakty ($Q/Q_D^* \sim 1$)

- 10km simulace srovnatelné se 100km



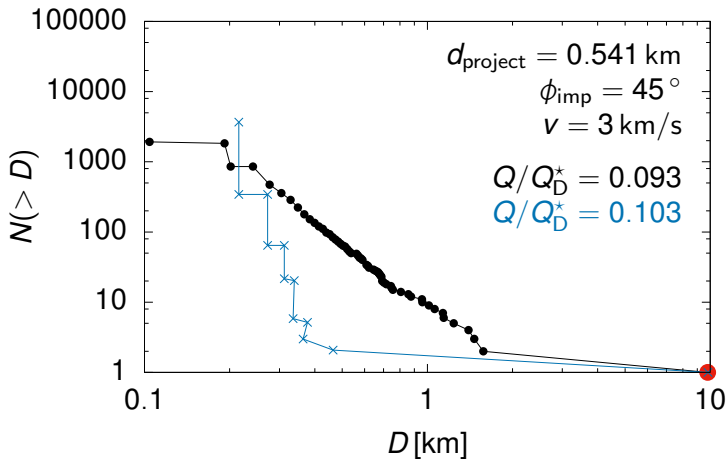
Katastrofické rozpady ($Q/Q_D^* \gg 1$)

- 100km se **více** rozpadne \rightarrow větší sklon SFD
- SFD roste strmě, největší remnant neexistuje



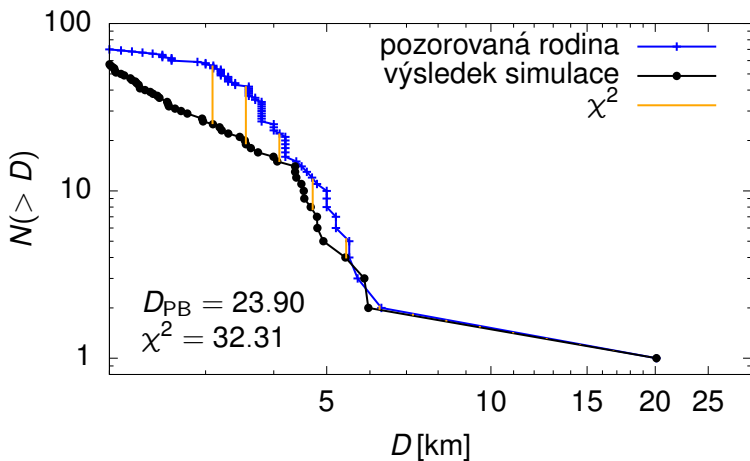
Kráterovací impakty ($Q/Q_D^* \ll 1$)

- 100km se **méně** rozpadne \rightarrow větší sklon SFD



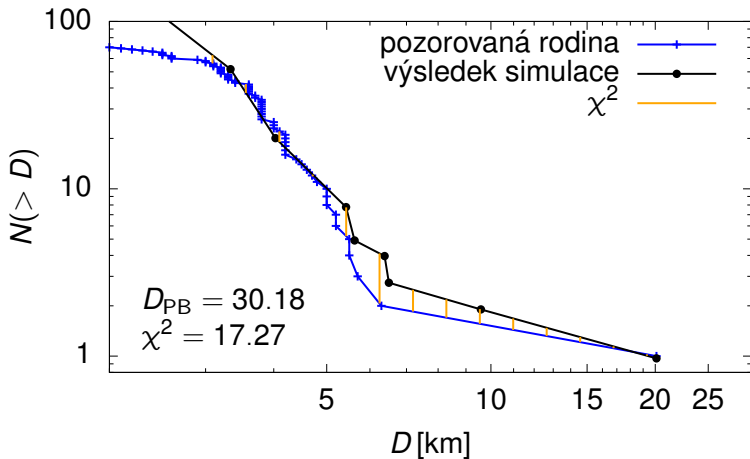
Porovnání simulací 10km těles s rodinou Karin

- pozorovaná rodina — Nesvorný & Bottke (2004)



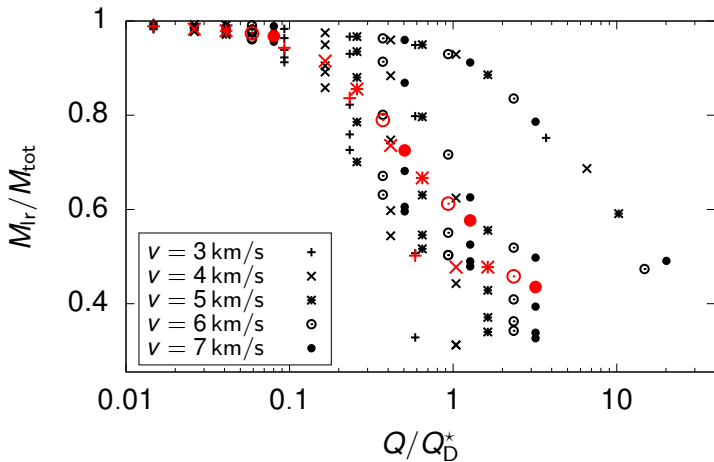
Porovnání simulací 100km těles s rodinou Karin

- Durda et al. (2007)



Závislost největšího zbytku na kinetické energii

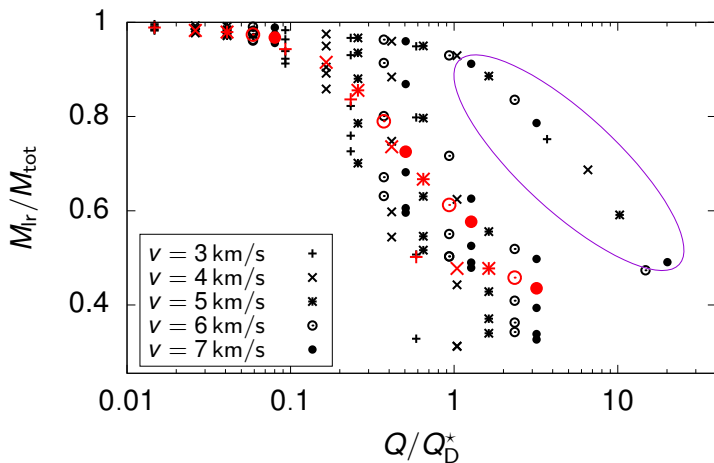
- průměrování přes ϕ_{imp} , $\rho(\phi) = \sin 2\phi$ ($= 0$ pro $\phi_{\text{imp}} = 0^\circ, 90^\circ$)



- **Menší** $v \rightarrow$ **silnější** impakt (pro $Q/Q_D^* = \text{konst.}$)

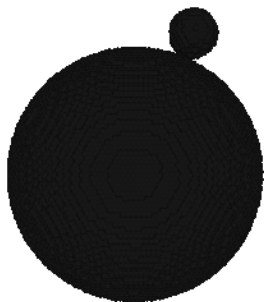
Závislost největšího zbytku na kinetické energii

- průměrování přes ϕ_{imp} , $\rho(\phi) = \sin 2\phi$ ($= 0$ pro $\phi_{\text{imp}} = 0^\circ, 90^\circ$)



- Impakty s impaktním úhlem $\phi = 75^\circ$ výrazně slabší

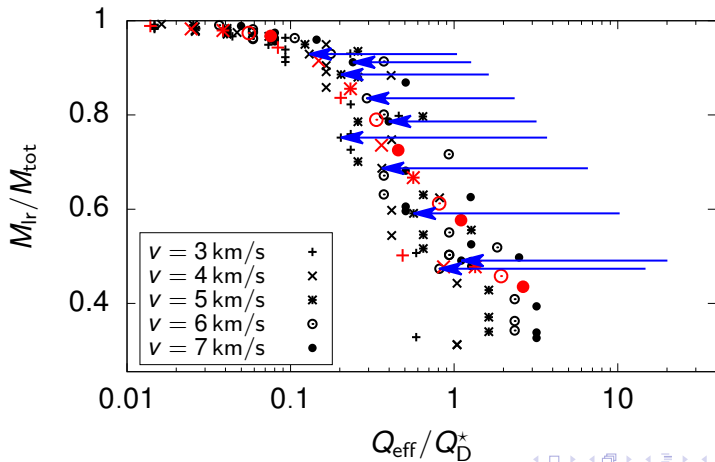
Impakty pod úhlem 75°



Oprava o efektivní plochu impaktu

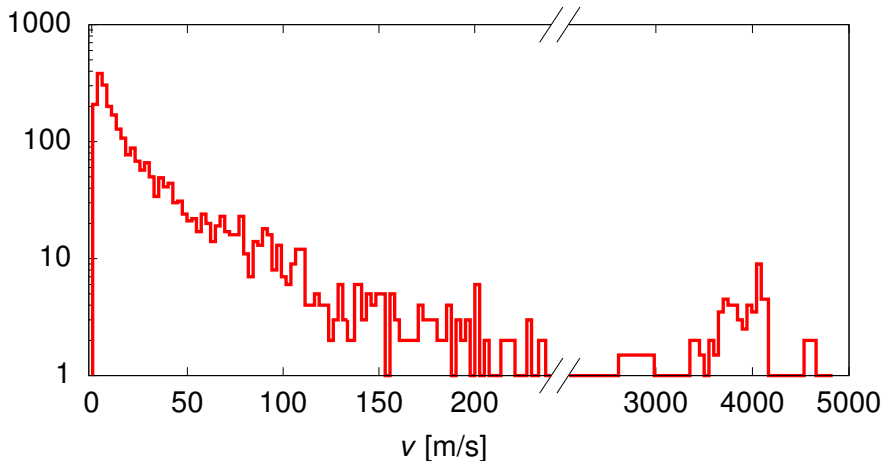
- nahradíme $Q \rightarrow Q_{\text{eff}} \equiv Q \cdot A$, kde

$$A = \frac{\text{plocha průniku kruhů o průměrech } D_{\text{project}} \text{ a } D_{\text{pb}}}{\text{plocha kruhu o průměru } D_{\text{project}}}$$



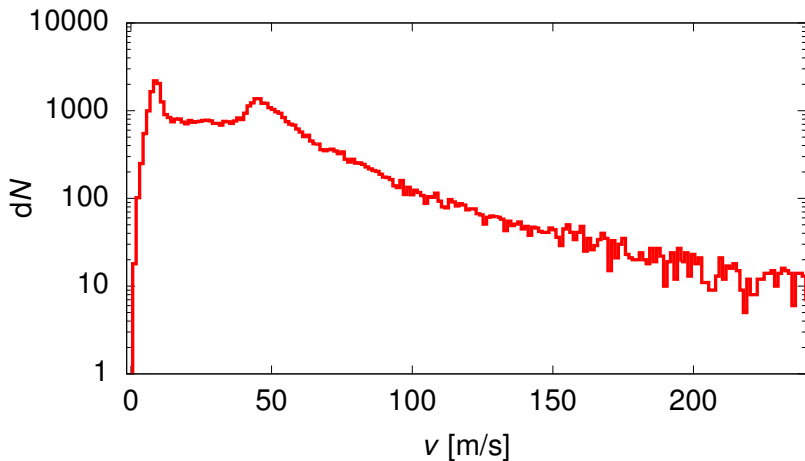
Histogram rozdělení rychlostí

- chceme **velikost** rychlosti → záleží na vztažné soustavě
- těžišťová soustava **bez** outlierů



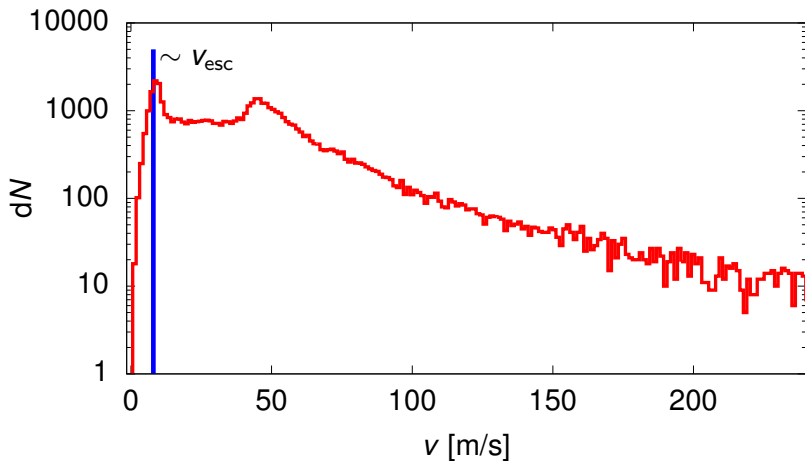
Histogram rozdělení rychlostí

- dvě lokální maxima rozdělení — první přibližně odpovídá únikové rychlosti v_{esc} , druhé z **antipodu**



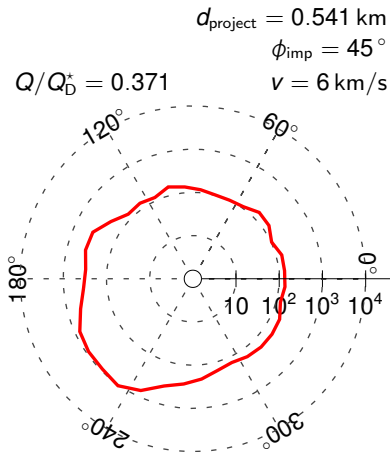
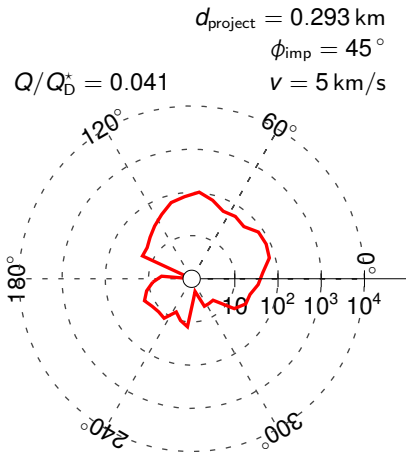
Histogram rozdělení rychlostí

- dvě lokální maxima rozdělení — první přibližně odpovídá únikové rychlosti v_{esc} , druhé z **antipodu**



Úhlové rozdělení rychlostí

- katastrofické rozpady — více **izotropní**
- u slabších impaktů — protažení ve směru impaktního úhlu

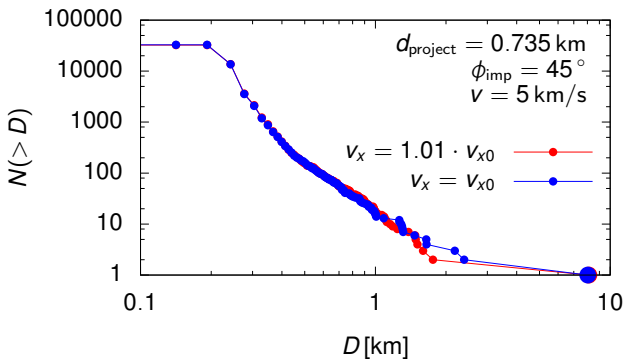


Shrnutí

- Lineární škálování — funguje dobře pro $Q/Q_D^* \sim 1$, větší rozdíly pro kráterovací i pro katastrofické impakty
- Pro rodinu Karin — pro 10km simulace je D_{pb} **menší** než pro simulace 100km
- Impaktní úhel $\phi = 75^\circ$ — slabší kvůli geometrii
 - větší vliv na 100km simulace
- Rychlostní pole — více izotropní pro katastrofické rozpady

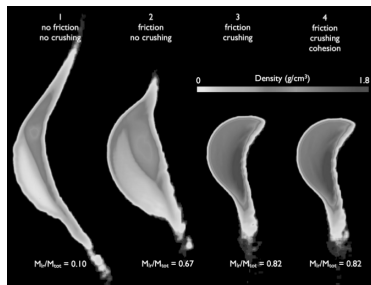
Nejistoty modelu

- N-částicová simulace — **chaotická**
- test citlivosti výsledků: na 'startu' nastavíme mírně větší rychlosti ve směru x
- rozdíl ve střední části histogramu, sklon q a největší zbytek D_{lr} takřka nezměněn.



Nejistoty pozorování

- interloperů — zejména pokud je největší zbytek interloperem, dostaneme zcela chybný výsledek
- tvar mateřského tělesa — pro $D_{pb} = 10$ km může být daleko od sféry
- hustoty asteroidů (Carry 2012)
- mikro-/makro-porozita — je potřeba složitější reologický model (Asphaug et al. 2015)



Extrapolace parametrických relací

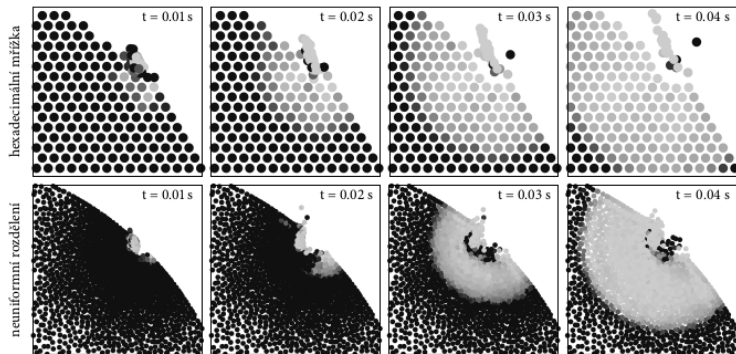
- parametrické relace jsou dány hodnotami v intervalu $[0, 01; 100]$ (v jednotkách Q_{eff}/Q_D^*)
- mimo interval chybí data, volíme „rozumné“ limity chceme se např. vyhnout problému s divergencí
- pro **sklon** volíme tvar funkce stejně jako Durda et al. (2007)

$$q = -10 + 7 \left(\frac{Q}{Q_D^*} \right)^{0.4} \exp \left(-\frac{Q}{7Q_D^*} \right)$$

(ačkoliv pokles sklonu pro Q_{eff}/Q_D^* není v datech patrný)

Kontaktní diskontinuita

- u povrchu nefyzikální gradient tlaku na škále $\sim h$
→ větší rozlišení místa impaktu
- chová se jako impakty s větší energií, **ale** rozdělení velikostí má uměle menší sklon (částice SPH nemají stejnou „velikost“).



Balsarův přepínač

- umělá viskozita Π_{ij} nežádoucí ve smyku
- problém lze omezit 'opravením' umělé viskozity:

$$\Pi_{ij} \longrightarrow \Pi_{ij} \frac{f_i + f_j}{2}$$

kde

$$f_i = \frac{|\nabla \cdot \mathbf{v}_i|}{|\nabla \cdot \mathbf{v}_i| + \|\nabla \times \mathbf{v}_i\| + \epsilon c_s / h_i}$$

- Pro nevířivé proudění ($\|\nabla \times \mathbf{v}_i\| = 0$) dostaneme původní vztah, viskozita vymizí při čistě smykovém toku ($\nabla \cdot \mathbf{v}_i = 0$)